и второй групп. Структура ураниений этих методов поэволяет рашаты их с использованием непрофессиональных микрокалькуляторов. Предпочение при расчетах следует отдавить методу № 2a.

ЛИТЕРАТУРА

- 1 Бираная Г. Г. Курс теории механизмон и машин.— М. :Машиностроение, 1967.— 508 г.
- 2. Артоболеоский И. И. Теория механизмов и миния М. Наука, 1988 640 с.
- Демидович Б. И., Марок И. 1., Шталова Э. С. Численные методы нивлича М.: Физматия, 1963.— 400 с.
- Зельдович Я. Б., Мышкис А. Я. Элементы прикладзой математаки М. Наука, 1967.— 645 с.
- 5. Зиновьев Вяч. А., Бессонов А. И. Селовы динамики машинимах агрегит в.— М., Машиностроение, 1964.—236 с
- Бессонов А. П. Динамика механизмов // Спр.: Кинематики, динамика и гочность механизмов.— М.: Машиностроение.— 1984.— С. 75—110.
- 7. Теория механизмов и машин / Под ред. К. В. Фролова,— М. Вылит пикола, 1987.— 490 с.

ЕрПЕ им. К. Маркев

K11. 1989

Has. AH Aps(CCP (cep. TH), + XLIII, № 4,1990, c. 157-161

машиностроение

VIIK 428.517:534.6.08

A. T. APAREATHER, A. J. MANIASHI

МЕТОДИКА РАСЧЕТА ХАРАКТЕРИСТИК ЗВУКОВОГО ПОЛЯ ЗАГЛУШЕННЫХ КАМЕР. • *

Предлагается повый метой развити характеристик даухового водя шенных вимер Предлагаем метой и стлачие от существующего получать характеристий авхичного получать характеристий авхичного поля заглушенной кимеры с учетом хадактеристик и ножения предоцающих поверх остей при любых значениях запаздырания отраженного наука стносительно дримого, что значительно увеличивает точность расчета.

Ил. 1. Биолиогр.: 4 наяв,

-ոցվածում առաջարկվում է խուլ իւցերում Հայնակային գաւտը բևութագրելու Հայվարկային
հ տարբերություն արև նդանակների՝ հաշվի են առնվում կլանող մակերևույթբնաթագրերն ու դիրջը անրադարձող Հայնի ու ացման ցանկացած նչանակության
բում, որը բերում է Հայվարկի հիսության նչանակային դաշորը բևութագրելու Հայմարկի հիսության հրանակային դաշակային դաշակացման։

Существующий метод расчета характеристик звукового поля заглушенных камер разработан [1] на основе статистической теории при искоторой идеализации формирования ввуколого поля. При расчете характеристик звукового поля но существующему метолу не учитываются значение коэффициента звукологлощения в занисимости от угла падсаня звуковой волны, расположение поглощающих поверхностей в номещении относительно источника шума и распределение вукового давления в помещении, что приводит к погрешностям при определении характеристик звукового поля. В связи с этим разработан метод расчета характеристик звукового поля заглушенных камер с учетом особенностей формирования этого поля. Звуковое поле в помещении состоит из прямого и отраженного звуков. Плотность энергии прямого звука определяется по формуле [2]

$$E = \frac{P_+ \Phi}{\Omega e^2 e}$$
, (1)

где P_+ — звуковая мощность источника, $Br; \Phi_-$ фактор направленности излучения источника; Ω_- пространственный угол излучения, ср. r_- расстояние от центра излучения по точки приема, $n; \epsilon_-$ скорость энука, n/ϵ .

Плотность энергии отраженного звука определям при помощи минмых источников. На ограждающую поверхность помещения падает прямая щуковая волна, которая отражаясь, поступает в гочку приема. Отраженные волны, прихолящие в расчетную точку, можно рассматривать как волны, распространяющиеся от мнимых источников звука. Пря мощности каждого на мнимых источников $P_{\rm p}$ $(1-\alpha_{\rm p}$ $(\theta))$ их суммарное значение представится в виде

$$P_{M} = \sum_{n=1}^{\infty} P_{n} (1 - n (9)),$$
 (2)

где $z_{p}(\theta)$ коэффициент звукопоглощения p-ой поверхности в зависимости от угла надения. θ , m — количество маимых источников, P_{p} — мощность надающей волны на поверхность глощадью S_{p} , Bm. При плотности энергии, созданаемой реальным источником до первого акта звукопоглощения

$$E = \frac{4P_0}{c\tau_i S} = (3)$$

мощность надающей полны на поверхность влощалью S_n выразытся соотношение м

$$P_{\rho} = \frac{eS}{4} E, \tag{4}$$

где $\mathfrak{a}_{v} = \sum_{i=1}^{n} S S$ — средний коэффициент звукопогловдения ограждающих поверхностей помещения; коэффициент звукопоглощения t-ой поверхности; S— площадь поверхности t-го ограждения, \mathcal{M}^{2} ; S— площадь ограждающих поверхностей помещения, \mathcal{M}^{2} ; n— количество ограждений с различными значениями коэффициента звукопоглощения.

При установившемся равновеоном состоянии поле отраженного звука в помещении постоянно получают энергию от источника и столько же теряет при отражениях, т. е.

$$P = z_{\nu} P_{\mu}. \tag{5}$$

Рассматривая точку приема как источник с мощностью P, по выражению (3) определим плотность энергии, установившейся в помещемии, которая и будет плотностью энергии отраженного звука

$$E_a = \frac{4P}{c \kappa_c S}.$$
 (6)

Совместно решая (2), (4) и (6), окончательно получаем значение плотности энергии отраженного звука в помещении

$$E_0 = \frac{4P}{cS} \sum_{i=1}^{n} \sum_{p=1}^{n} \frac{S_p(1-\alpha_p(\theta))}{\alpha_p^2}.$$
 (7)

В частном случае, если в точку приема падают отраженные звуковые волны от всех ограждающих поверхностей помещения (n=m), формула (7) совпадает с выражением плотности энергии диффузного поля отраженного звука в помещении [2].

Для учета фазовых соотношений в расчетной точке поля плотность внергии прямого и отраженного звуков представим на комплексной плоскости в виде векторов

$$\dot{E}_{n} = E_{n}e^{jkr}, \qquad \dot{E}_{n} = E_{n}e^{jk\cdot r}, \qquad (8)$$

где r_0 — расстояние от p-го минмого источника до точки приема, $k = \omega/c$ — волновое число, m^{-1} ; ω — угловая частота колебаний, c^{-1} . Получениые выражения (8) позволяют определять основные характеристики звукового поля заглушенной камеры. Неравномерность поля выразится следующим соотношением:

$$\Delta L = 101g \left(1 + \text{Re} \left(\frac{4\Omega r}{\Phi S} \sum_{i=1}^{n} \sum_{p} \frac{S_{p} \left(1 - \alpha_{p} \left(\theta \right) \right) e^{j \left((r_{p} - I) \right)}}{S} \right) \right)$$
 (9)

а значение плотности энергии на расстоянии г от излучателя относительно исходной плотности, условно взятого на расстоянии г₁

$$a_{i} = 10 \lg \Re \left(\frac{r^{2}}{r} e^{jk(r-r)} + \frac{10r^{2}}{S} \right) = \frac{S}{2} \left(\frac{S}{r} + \frac{11-s}{s} \frac{(5)}{s} e^{jk(r-r)} \right) - (10)$$

В (9) и (10) берется деиствительная часть комплексного выражения, нахождение которой представляет определенную трудность в связи с необходимостью изменения несколько раз формы представления. Значительно проше для их нахождения использовать векториме днаграммы на комплексной плоскости. Предлагаемый метод использо-

ван при проектировании заглушенной камеры НПО «АНИ», В качестве примера на рисунке приведены векторные диаграммы для определения перавномерности поля заглушенной камеры для частот f = 63,125 и 250 Γu при расстоянии от источника r = 2 м. На комплексной плоско-

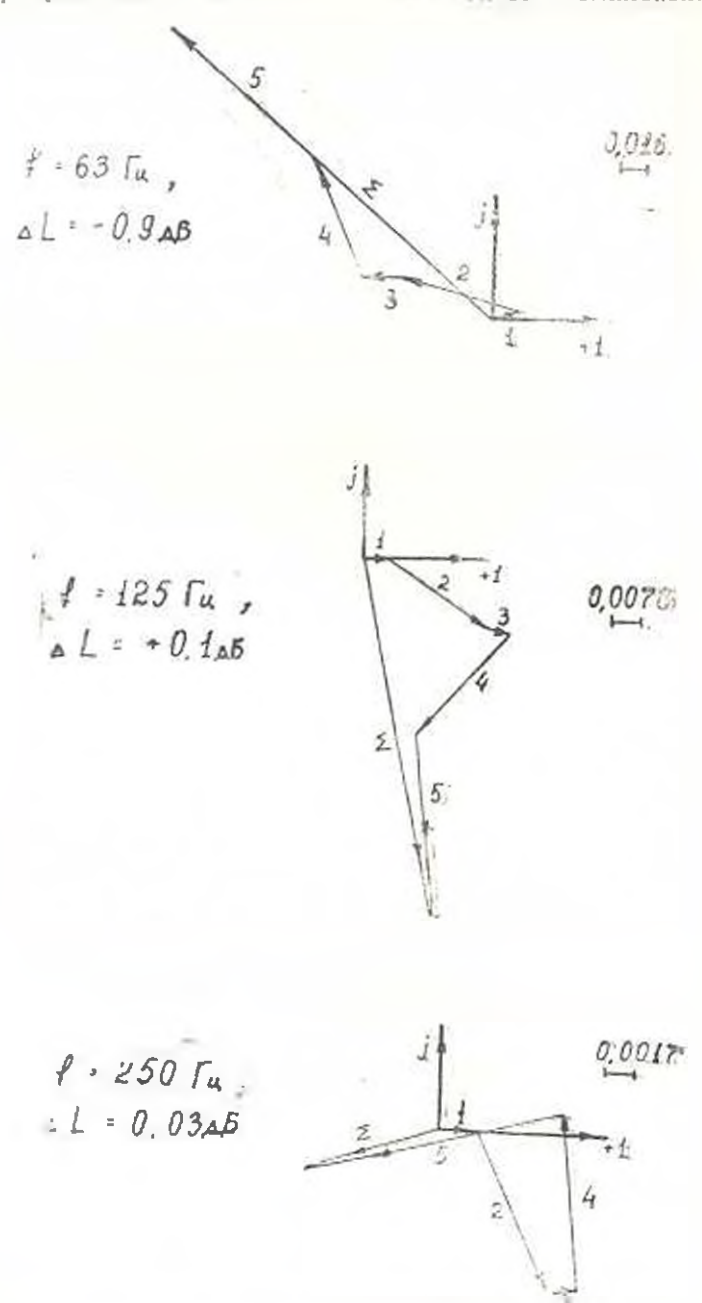


Рис Векторные днаграммы относительных значен и отраженной энергии от различных поверхностей при r = 2 м.

сти строятся вехторы, соответствующие относительным значениям от раженной энергии от различных поверхностей. Так как камера выпол нена с отражающим полом, векторная диаграмма строится для пяти поверхностей (четырех стен и потолка). Определяется результирующая втих векторов Σ и вычисляется его действительная часть (проекция результирующего вектора на действительную ось). Полученная величина суммируется с единицей и логарифмируется, т. е. при помощи векториых диаграмм значительно упрощается учет фазовых соотношений и определение величины неравномерности звукового поля заглушенной камеры.

Предлагаемый метод по сравнению с существующим позволяет получать характеристики звукового поля заглушенной камеры с учетом карактеристик и положения поглощающих поверхностей при любых значениях запаздывания отраженного звука относительно прямого.

ЛНТЕРАТУРА

- Raush W., Schubert H. Refle donsarme Schallmefraume//Frequenz. 1959. B. 13, No. 10. - S. 324 - 331
- М. В. Распространение звука в помещениях // В ки.: Борьба с шумом па производстве — М.: Машиностроение, 1985.— С. 179—187.
- 3. Осилов Г. Л. Защита зданий от шума. М.: Стройиздат, 1972.—216 с.
- 4. Кудрявцей Ф. С., Лагунов Л. Ф. Методические указания по расчету и проектиронацию акустических камер для изморения шумовых характеристик машии,—М. ВЦНИИОТ ВЦСИС, 1978—77 с.

30, 111, 1989

Нзв. АН АрмССР (сер. ТН), т ХЦПП, № 1, 1990, с. 161—168

МАШИНОСТРОЕНИЕ

УЛК 620.191.8

м. г. стакян, г. а манукян

РАСЧЕТНАЯ ОЦЕНКА СОПРОТИВЛЕНИЯ КОРРОЗИОННОИ УСТАЛОСТИ ВАЛОВ ПРИ СЛОЖНО-НАПРЯЖЕННОМ ОССТОЯНИИ

Рассмотремо влияние спатических касательных напряжений на сопротивление воррозновной усталости образцов на стани 45 днаметром d-12 мм при действии имятельной усталости образцов на станического кручения. Построейа поверхности дредельных напряжений в координатах $z-K-\varepsilon$ при постоянном отношении - 0, 0,3 и 0,6, в для количественной оценки влияния ε предлажены коэффициенты $K_{\text{коруст}}$ которые учитыляют изменения ограниченного предела инполичение инклических долговечностей при различных вероятностях пераррушение

Ha 4. Ta6a. ! Bu6merp 8 up is

Դետարկված է ստասիկ են մաննիրի և հունակինի և հունակինի և հունակինի և հունակինի հունակինն այն